

Министерство образования Республики Беларусь
БЕЛОРУССКИЙ ГОСУДАРСТВЕННЫЙ УНИВЕРСИТЕТ
ИНФОРМАТИКИ И РАДИОЭЛЕКТРОНИКИ

Кафедра физики

ЛАБОРАТОРНАЯ РАБОТА

№ 2э.2

ИЗУЧЕНИЕ ОСНОВНЫХ СВОЙСТВ ЭЛЕКТРОСТАТИЧЕСКОГО ПОЛЯ

МЕТОДИЧЕСКИЕ УКАЗАНИЯ

Минск 2023

ЛАБОРАТОРНАЯ РАБОТА № 2э.2

ИЗУЧЕНИЕ ОСНОВНЫХ СВОЙСТВ ЭЛЕКТРОСТАТИЧЕСКОГО ПОЛЯ

ЦЕЛЬ РАБОТЫ

1. Изучить характеристики векторного поля: поток Φ_E через ориентированную поверхность и циркуляцию Γ_E вдоль ориентированного контура.
2. Проверить теорему Гаусса для поля вектора напряженности \vec{E} электрического поля в интегральной форме.
3. Проверить равенство нулю циркуляции вектора напряженности \vec{E} электростатического поля вдоль произвольного ориентированного контура.

МЕТОДИЧЕСКОЕ ОБОСНОВАНИЕ

Всякий заряд (частица или тело, обладающее зарядом) изменяет определенным образом свойства окружающего его пространства – создает **электрическое поле**, которое проявляет себя в том, что помещенный в какую-либо его точку другой заряд испытывает действие силы со стороны этого поля.

Основной характеристикой электрического поля является напряженность.

Напряженность \vec{E} электрического поля в некоторой его точке – векторная физическая величина, являющаяся силовой характеристикой электрического поля и равная отношению силы \vec{F} , действующей со стороны поля на помещенный в данную точку неподвижный точечный пробный заряд $q_{пр}$, к этому заряду:

$$\vec{E}(\vec{r}) = \frac{\vec{F}(\vec{r})}{q_{пр}}. \quad (1)$$

В СИ $[E] = \text{В/м}$.

Электростатическим полем называется электрическое поле, создаваемое неподвижными в выбранной системе отсчета зарядами. Кроме напряженности важной характеристикой электростатического поля является потенциал.

Потенциал $\varphi(\vec{r})$ точки электростатического поля – скалярная физическая величина, являющаяся энергетической характеристикой этого поля в данной точке и равная отношению потенциальной энергии $W^P(\vec{r})$, которой обладает находящийся в данной точке пробный точечный заряд $q_{пр}$, к этому заряду:

$$\varphi(\vec{r}) = \frac{W^P(\vec{r})}{q_{пр}}. \quad (2)$$

В СИ $[\varphi] = \text{В}$.

Связь напряженности электростатического поля и потенциала: вектор напряженности в данной точке с радиус-вектором \vec{r} электростатического поля равен градиенту потенциала в этой точке поля с обратным знаком:

$$\vec{E}(\vec{r}) = -\text{grad } \varphi(\vec{r}). \quad (3)$$

В декартовой прямоугольной системе координат (ДПСК) равенство (3) принимает вид:

$$E_x(\vec{r}) \cdot \vec{e}_x + E_y(\vec{r}) \cdot \vec{e}_y + E_z(\vec{r}) \cdot \vec{e}_z = - \left(\frac{\partial \varphi(\vec{r})}{\partial x} \cdot \vec{e}_x + \frac{\partial \varphi(\vec{r})}{\partial y} \cdot \vec{e}_y + \frac{\partial \varphi(\vec{r})}{\partial z} \cdot \vec{e}_z \right), \quad (4)$$

где $E_x(\vec{r})$, $E_y(\vec{r})$, $E_z(\vec{r})$ – проекции напряженности \vec{E} в точке электростатического поля с радиус-вектором \vec{r} на координатные оси ДПСК;

\vec{e}_x , \vec{e}_y , \vec{e}_z – ортонормированный базис ДПСК.

Стационарным векторным полем (например, полем вектора напряженности \vec{E} электростатического поля) называется область пространства, в каждой точке которой задан не зависящий от времени вектор \vec{E} , т. е. определена векторная функция координат $\vec{E} = \vec{E}(\vec{r})$, где \vec{r} – радиус-вектор точки области пространства.

Силовая линия векторного поля $\vec{E} = \vec{E}(\vec{r})$ – это направленная линия, в каждой точке которой вектор \vec{E} направлен по касательной к силовой линии. Густота силовых линий (т. е. число силовых линий, пересекающих перпендикулярную к ним плоскую поверхность единичной площади) в некоторой точке поля прямо пропорциональна модулю E вектора \vec{E} в этой точке.

Интегральными характеристиками векторного поля, описывающими основные его свойства, являются:

- 1) поток Φ_E через ориентированную поверхность,
- 2) циркуляция Γ_E вдоль ориентированного контура.

Пусть в окрестности какой-либо точки векторного поля $\vec{E} = \vec{E}(\vec{r})$ находится малый плоский элемент (dS) некоторой поверхности (S) , в пределах которого данное поле можно считать однородным, т. е. вектор \vec{E} в каждой точке элемента (dS) одинаков (рис. 1). Ориентируем этот элемент (dS) заданием единичного вектора нормали \vec{n} ($|\vec{n}|=1$), проведенного перпендикулярно к (dS) . Поскольку малый элемент (dS) поверхности является плоским, то вектор нормали \vec{n} к (dS) можно провести как в одном направлении, так и в противоположном. Введем в рассмотрение **вектор ориентированного малого элемента поверхности** \vec{dS} , равного

$$\vec{dS} = dS \cdot \vec{n}. \quad (5)$$

где dS – площадь малого элемента (dS) поверхности (S) .

Тогда **поток (элементарным)** $d\Phi_E$ векторного поля $\vec{E} = \vec{E}(\vec{r})$ через малый ориентированный элемент поверхности называется число, равное скалярному произведению векторов \vec{E} и \vec{dS} :

$$d\Phi_E = (\vec{E}, \vec{dS}) = (\vec{E}, \vec{n}) \cdot dS = E \cdot \cos \alpha \cdot dS = E_n \cdot dS, \quad (6)$$

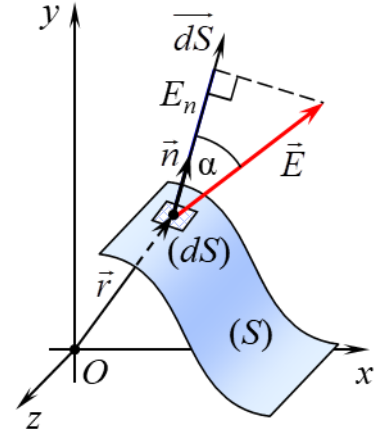


Рис. 1

где α – угол между векторами \vec{E} и \vec{n} ;

$E_n = (\vec{E}, \vec{n}) = E \cdot \cos \alpha$ – проекция \vec{E} на направление единичного вектора нормали \vec{n} (или \vec{dS}).

Пусть в области векторного поля $\vec{E} = \vec{E}(\vec{r})$ находится гладкая или кусочно-гладкая поверхность (S) конечных размеров (рис. 1). Ориентированной является гладкая двусторонняя поверхность (S) , в каждой точке которой задан единичный вектор \vec{n} , направленный по нормали к одной из сторон этой поверхности. **Поток** Φ_E векторного поля $\vec{E} = \vec{E}(\vec{r})$ через произвольную ориентированную поверхность (S) – это число, равное значению поверхностного интеграла

$$\Phi_E = \int_{(S)} (\vec{E}, \vec{dS}) = \int_{(S)} (\vec{E}, \vec{n}) \cdot dS, \quad (7)$$

где $\vec{dS} = dS \cdot \vec{n}$ – вектор ориентированного малого элемента (dS) поверхности (S) ;

dS – площадь малого элемента (dS) поверхности (S) , в пределах которого векторное поле можно считать однородным;

\vec{n} – единичный вектор нормали к малому элементу (dS) поверхности (S) .

В СИ $[\Phi_E] = \text{В} \cdot \text{м}$.

С учетом определения скалярного произведения векторов поток (7) векторного поля равен

$$\Phi_E = \int_{(S)} (\vec{E}, \vec{n}) \cdot dS = \int_{(S)} E \cdot \cos \alpha \cdot dS = \int_{(S)} E_n \cdot dS, \quad (8)$$

где α – угол между векторами \vec{E} и \vec{n} (рис. 1);

$E_n = E \cdot \cos \alpha$ – проекция \vec{E} на направление единичного вектора нормали \vec{n} .

Согласно определению (7) поток Φ_E – величина алгебраическая, т. к. он может принимать положительные значения ($\Phi_E > 0$), отрицательные значения ($\Phi_E < 0$) или быть равным нулю ($\Phi_E = 0$) при $\vec{E} \neq \vec{0}$.

Формула (7) определяет поток Φ_E через двустороннюю поверхность (S) с точностью до знака («+» или «-») в зависимости от выбора стороны поверхности, к которой задается единичный вектор нормали \vec{n} . Если поверхность (S) ориентировать заданием единичного вектора нормали \vec{n}_1 к ее верхней стороне (рис. 2), то поток Φ_{E1} в этом случае будет отличаться только знаком от потока Φ_{E2} через ту же самую поверхность (S) , но ориентированную выбором единичного вектора нормали \vec{n}_2 к нижней стороне ($\vec{n}_2 \updownarrow \vec{n}_1$):

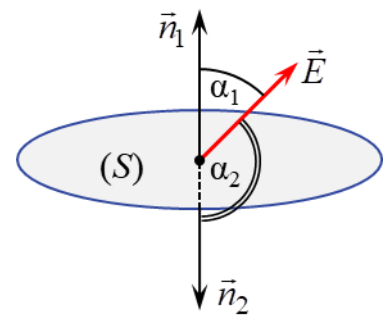


Рис. 2

$$\begin{aligned} \Phi_{E1} &= \int_{(S)} (\vec{E}, \vec{n}_1) \cdot dS = \int_{(S)} E \cdot \cos \alpha_1 \cdot dS = \int_{(S)} E \cdot \cos(\pi - \alpha_2) \cdot dS = \\ &= - \int_{(S)} E \cdot \cos \alpha_2 \cdot dS = - \int_{(S)} (\vec{E}, \vec{n}_2) \cdot dS = -\Phi_{E2}. \end{aligned} \quad (9)$$

В случае замкнутой поверхности (сферы, поверхности параллелепипеда или любой другой ограничивающей объемное тело поверхности) единичный вектор нормали \vec{n} проводится к внешней стороне этой поверхности, т. е. наружу ограничиваемой ею пространственной области. Для обозначения поверхностного интеграла по замкнутой поверхности (S) используется символ $\oint_{(S)}$.

Поток Φ_E векторного поля $\vec{E} = \vec{E}(\vec{r})$ через произвольную ориентированную поверхность (S) прямо пропорционален разности числа выходящих $N_{\text{выход}}$ из этой поверхности и входящих $N_{\text{вход}}$ в нее силовых линий этого поля:

$$\Phi_E \sim (N_{\text{выход}} - N_{\text{вход}}). \quad (10)$$

При этом выходящей из ориентированной поверхности (S) является такая силовая линия, направление которой в точке ее пересечения с (S) образует острый угол с единичным вектором нормали \vec{n} к этой поверхности (рис. 3). Если силовая линия пересекает ориентированную поверхность (S) так, что направление линии образует с единичным вектором нормали \vec{n} к этой поверхности тупой угол, то такая силовая линия является входящей.

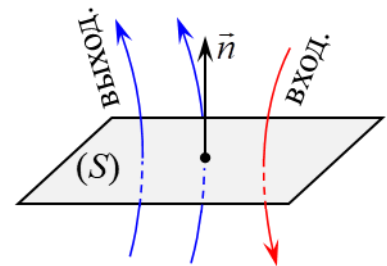


Рис. 3

Теорема Гаусса для поля вектора напряженности \vec{E} электрического поля в вакууме в интегральной форме: поток вектора напряженности \vec{E} электрического поля в вакууме через любую замкнутую поверхность (S) равен алгебраической сумме зарядов $q_{\text{охв}}$, охватываемых этой поверхностью, деленной на электрическую постоянную ϵ_0 :

$$\oint_{(S)} (\vec{E}, d\vec{S}) = \frac{1}{\epsilon_0} \cdot q_{\text{охв}}. \quad (11)$$

Принимая во внимание связь потока Φ_E поля вектора \vec{E} через произвольную ориентированную поверхность (S) с числом пересекающих эту поверхность силовых линий данного поля (10), из теоремы Гаусса (11) следует:

- если замкнутая поверхность охватывает электрические заряды, то поток вектора напряженности через эту поверхность отличен от нуля, а значит, общее число силовых линий, пересекающих эту поверхность не равно нулю, т. е. $N_{\text{вых}} \neq N_{\text{вход}}$;

- если внутри пространственной области, ограниченной замкнутой поверхностью заряды отсутствуют, то число выходящих линий равно числу линий входящих $N_{\text{вых}} = N_{\text{вход}}$.

Поэтому содержательный смысл теоремы Гаусса для поля вектора напряженности \vec{E} электрического поля в вакууме в интегральной форме заключается в следующем: в общем случае силовые линии электрического поля не являются замкнутыми – они начинаются на положительных электрических зарядах и оканчиваются на отрицательных.

Гладкая или кусочно-гладкая замкнутая кривая (контур) считается ориентированной, если вдоль нее выбрано направление обхода, т. е. в каждой точке этой кривой задан единичный вектор $\vec{\tau}$ ($|\vec{\tau}|=1$), направленный по касательной к кривой в сторону обхода.

Циркуляция Γ_E векторного поля $\vec{E} = \vec{E}(\vec{r})$ вдоль замкнутой ориентированной кривой (L) – это число, равное значению линейного интеграла:

$$\Gamma_E = \oint_{(L)} (\vec{E}, d\vec{\ell}) = \oint_{(L)} (\vec{E}, \vec{\tau}) \cdot d\ell, \quad (12)$$

где $d\vec{\ell} = d\ell \cdot \vec{\tau}$ – вектор ориентированного малого элемента замкнутой кривой (L) (рис. 4);

$d\ell$ – длина малого элемента ($d\ell$) замкнутой кривой (L) , в пределах которого векторное поле можно считать однородным;

$\vec{\tau}$ – единичный вектор касательной к кривой (L) в некоторой точке элемента ($d\ell$), по направлению совпадающий с направлением обхода вдоль (L) .

В СИ $[\Gamma_E] = \text{В}$.

С учетом определения скалярного произведения векторов циркуляция (12) векторного поля равна

$$\Gamma_E = \oint_{(L)} E \cdot \cos \alpha \cdot d\ell = \oint_{(L)} E_\tau \cdot d\ell, \quad (13)$$

где α – угол между векторами \vec{E} и $\vec{\tau}$ (рис. 4);

$E_\tau = (\vec{E}, \vec{\tau}) = E \cdot \cos \alpha$ – проекция \vec{E} на направление единичного вектора касательной $\vec{\tau}$ или вектора ориентированного малого элемента $d\vec{\ell}$ кривой (L) .

Работа A силы \vec{F} электрического поля при движении в нем точечного заряда q по замкнутой траектории (L) , равна произведению этого заряда q на циркуляцию Γ_E векторного поля напряженности $\vec{E} = \frac{\vec{F}(\vec{r})}{q}$ вдоль замкнутой ориентированной кривой (L) , совпадающей с траекторией движения данного заряда:

$$A = \oint_{(L)} (\vec{F}, d\vec{r}) = \oint_{(L)} \left| \frac{\vec{F} = q \cdot \vec{E}}{d\vec{r} = d\vec{\ell}} \right| = \oint_{(L)} (q \cdot \vec{E}, d\vec{\ell}) = q \cdot \oint_{(L)} (\vec{E}, d\vec{\ell}) = q \cdot \Gamma_E. \quad (14)$$

Теорема о циркуляции вектора напряженности \vec{E} электростатического поля в интегральной форме: циркуляция вектора напряженности \vec{E} электростатического поля вдоль любой замкнутой ориентированной кривой (L) всегда равна нулю:

$$\oint_{(L)} (\vec{E}, d\vec{\ell}) = 0. \quad (15)$$

С учетом (14) из теоремы о циркуляции (15) получается, что работа сил электростатического поля при движении в нем точечного заряда q по замкнутой

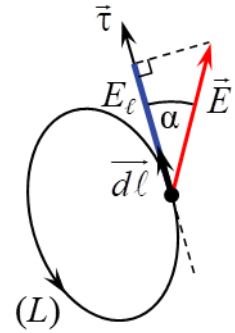


Рис. 4

траектории (L) всегда равна нулю. Следовательно, силы электростатического поля являются **консервативными**.

ОПИСАНИЕ ЭКСПЕРИМЕНТАЛЬНОЙ УСТАНОВКИ

Прямое изучение электростатических полей сопряжено с рядом технических трудностей. Поэтому широко используется **метод моделирования**: исследуемое электростатическое поле $\vec{E} = \vec{E}(\vec{r})$ заменяется на эквивалентное ему поле стационарных токов $\vec{j} = \vec{j}(\vec{r})$ в слабо проводящей среде (\vec{j} – плотность тока). При этом расположение и форма электродов – источников поля $\vec{j} = \vec{j}(\vec{r})$ – полностью совпадают с расположением и формой источников моделируемого поля $\vec{E} = \vec{E}(\vec{r})$ – электрических зарядов, а в каждой точке поля $\vec{E}(\vec{r}) \uparrow \uparrow \vec{j}(\vec{r})$. Более подробно метод моделирования электростатических полей рассмотрен в методических указаниях к лабораторным работам 2э.1, 2э.3 и 2э.4.

Изучать свойства электростатического поля удобно на примере плоского поля, в каждой точке которого векторы напряженности \vec{E} являются компланарными, т. е. лежат в одной плоскости или в параллельных плоскостях. В этом случае напряженность зависит только от двух координат и при ее определении требуются измерения только в одной из плоскостей. В данной лабораторной работе для проверки теоремы Гаусса и теоремы о циркуляции вектора напряженности \vec{E} электростатического поля в интегральной форме выбрано **поле плоского цилиндрического конденсатора**.

Лабораторная установка (рис. 5) состоит из: планшета (1) с установленным на нем макетом плоского электростатического поля; источника постоянного тока (2); двойного зонда (3), соединенного с цифровым вольтметром (4). Макет представляет собой горизонтальный лист электропроводной бумаги (5), на котором закреплены подсоединенные к источнику постоянного тока плоские металлические электроды (6). Электропроводная бумага накрыта пластиной из органического стекла с отверстиями для щупов двойного зонда. Плоскостью моделируемого плоского поля напряженности $\vec{E} = \vec{E}(\vec{r})$ является плоскость электропроводной бумаги, а его источниками (электрическими зарядами) – электроды (6).

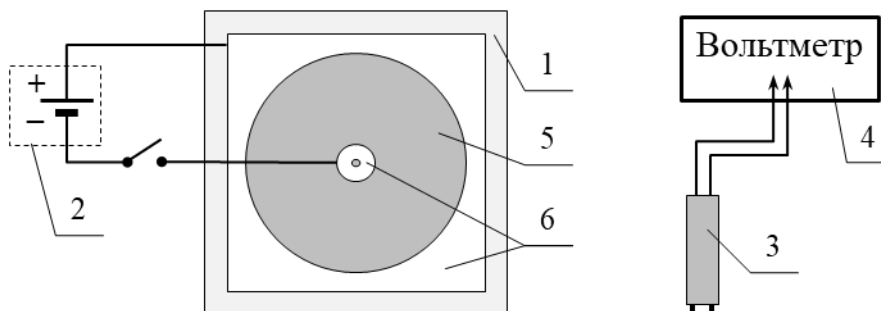


Рис. 5

С помощью двойного зонда в любой точке плоского поля можно определить проекцию напряженности \vec{E} на направление (например, на ось Ox) вдоль точек контакта щупов зонда с электропроводной бумагой (рис. 6). Действительно, из связи напряженности электростатического поля и потенциала (4) следует, что проекция E_x вектора \vec{E} на ось Ox равна

$$E_x = -\frac{\partial\varphi}{\partial x}.$$

Если расстояние d между щупами двойного зонда достаточно малое ($d = \Delta x$), то

$$E_x = -\frac{\partial\varphi}{\partial x} \approx -\frac{\Delta\varphi}{\Delta x} = -\frac{\varphi_2 - \varphi_1}{d} = \frac{U}{d}, \quad (16)$$

где $U = \varphi_1 - \varphi_2$ – разность потенциалов (напряжение), измеряемая вольтметром, к которому подключен двойной зонд.

Для проверки теоремы Гаусса (11) для поля вектора напряженности \vec{E} электрического поля в вакууме в интегральной форме необходимо выбрать **замкнутую поверхность** конечных размеров – гауссову поверхность. В качестве таковой в данном случае предлагается выбрать поверхность (S) прямоугольного параллелепипеда высотой h , расположенного симметрично относительно плоскости плоского поля вектора (рис. 7, а). Поверхность ($S_{\text{оXB}}$) – часть плоскости плоского поля \vec{E} , охватываемая гауссовой поверхностью (S).

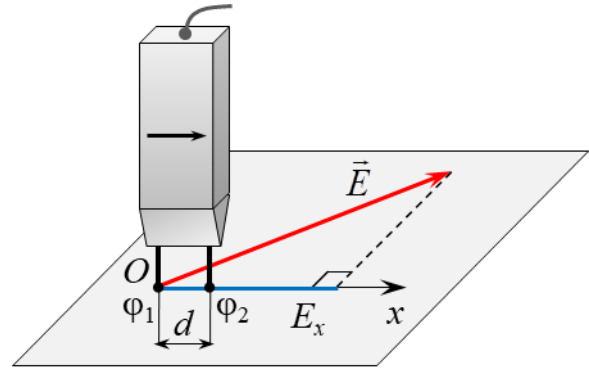


Рис. 6

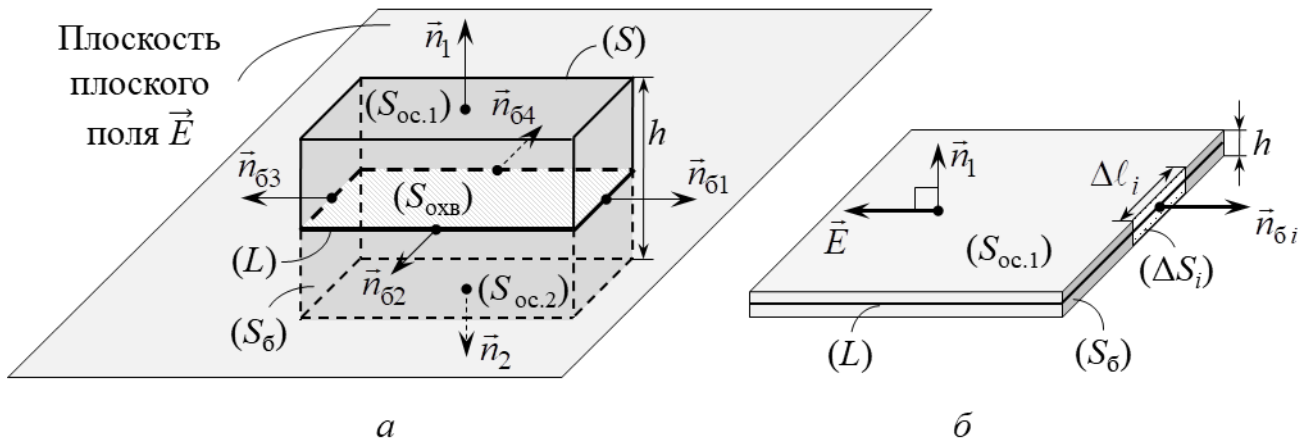


Рис. 7

Поскольку замкнутую поверхность (S) можно представить в виде совокупности поверхностей двух оснований ($S_{\text{oc.1}}$, $S_{\text{oc.2}}$) и боковой поверхности (S_6)

$$(S) = (S_{\text{oc.1}}) \cup (S_{\text{oc.2}}) \cup (S_6),$$

то поток (7) вектора \vec{E} через ориентированную гауссову поверхность (S) равен сумме потоков через все ее части:

$$\oint_{(S)} (\vec{E}, d\vec{S}) = \oint_{(S)} (\vec{E}, \vec{n}) \cdot dS = \int_{(S_{oc.1})} (\vec{E}, \vec{n}_1) \cdot dS + \int_{(S_{oc.2})} (\vec{E}, \vec{n}_2) \cdot dS + \int_{(S_6)} (\vec{E}, \vec{n}_6) \cdot dS. \quad (17)$$

где \vec{n}_1 , \vec{n}_2 и \vec{n}_6 – единичный вектор нормали к внешней стороне малого элемента поверхности (S_1) , (S_2) и (S_6) соответственно.

Выберем высоту h поверхности (S) прямоугольного параллелепипеда настолько малой, чтобы ее основания $(S_{oc.1})$ и $(S_{oc.2})$ находились практически в области плоского поля вектора \vec{E} (рис. 7, б). Тогда во всех малых элементах поверхностей $(S_{oc.1})$ и $(S_{oc.2})$ вектор \vec{E} перпендикулярен \vec{n}_1 и \vec{n}_2 . Поэтому

$$\begin{aligned} \int_{(S_{oc.1})} (\vec{E}, \vec{n}_1) \cdot dS &= \int_{(S_{oc.1})} E \cdot \cos(\pi/2) \cdot dS = 0, \\ \int_{(S_{oc.2})} (\vec{E}, \vec{n}_2) \cdot dS &= \int_{(S_{oc.2})} E \cdot \cos(\pi/2) \cdot dS = 0. \end{aligned} \quad (18)$$

С учетом (18) поток (17) вектора \vec{E} через гауссову поверхность (S) равен потоку через ее боковую поверхность (S_6) :

$$\oint_{(S)} (\vec{E}, d\vec{S}) = \int_{(S_6)} (\vec{E}, \vec{n}_6) \cdot dS = \int_{(S_6)} E_n \cdot dS, \quad (19)$$

где E_n – проекция вектора \vec{E} на направление единичного вектора нормали \vec{n}_6 к внешней стороне малого элемента (dS) поверхности (S_6) (см. формулу (8)).

Если всю боковую поверхность (S_6) прямоугольного параллелепипеда мысленно разбить на N малых элементов в виде прямоугольников высотой h и одинаковой длины $\Delta\ell_i = \Delta\ell$ (рис. 7, б), то значение определенного интеграла в выражении (19) можно приближенно представить в виде дискретной суммы

$$\oint_{(S)} (\vec{E}, d\vec{S}) = \int_{(S_6)} E_n \cdot dS \approx \sum_{i=1}^N (E_{ni} \cdot \Delta S_i) = \sum_{i=1}^N (E_{ni} \cdot h \cdot \Delta\ell_i) = h \cdot \Delta\ell \cdot \sum_{i=1}^N E_{ni}, \quad (20)$$

где E_{ni} – проекция \vec{E} на направление \vec{n}_{6i} к i -му малому элементу (ΔS_i) ;

$\Delta S_i = h \cdot \Delta\ell_i$ – площадь i -го малого элемента.

Согласно теореме Гаусса (11)

$$\oint_{(S)} (\vec{E}, d\vec{S}) = \frac{1}{\epsilon_0} \cdot q_{\text{охв}},$$

где $q_{\text{охв}}$ – охватываемый замкнутой поверхностью (S) заряд, поэтому с учетом (20)

$$h \cdot \Delta\ell \cdot \sum_{i=1}^N E_{ni} \approx \frac{1}{\epsilon_0} \cdot q_{\text{охв}},$$

$$\sum_{i=1}^N E_{ni} \approx \frac{q_{\text{охв}}}{\epsilon_0 h \cdot \Delta\ell}. \quad (21)$$

В условиях данной лабораторной работы электрические заряды – источники моделируемого плоского поля вектора напряженности \vec{E} – имеют конфигурацию электродов (б) на макете (рис. 5). Поэтому можно ввести **постоянную** величину $\lambda = \text{const}$, имеющую смысл заряда, приходящегося на единицу длины

электрода в перпендикулярном плоскости поля направлении (в условиях данной лабораторной работы значение λ не известно). Тогда $q_{\text{оXB}} = \lambda_{\text{оXB}} h$ и

$$\sum_{i=1}^N E_{ni} \approx \frac{\lambda_{\text{оXB}}}{\varepsilon_0 \cdot \Delta \ell}. \quad (22)$$

Пусть высота h гауссовой поверхности (S) и ее боковой поверхности (S_6) мала так, что измерение всех E_{ni} достаточно проводить только вдоль замкнутой линии (L), являющейся сечением гауссовой поверхности (S) плоскостью плоского векторного поля \vec{E} (рис. 7, *а* и *б*). При этом контур (L) ограничивает поверхность ($S_{\text{оXB}}$) – часть плоскости плоского поля \vec{E} , охватываемой гауссовой поверхностью (S). Тогда, принимая во внимание возможность измерения проекции вектора напряженности с помощью двойного зонда, его нужно расположить так, чтобы точки контакта щупов зонда с электропроводной бумагой находились вдоль нормали \vec{n}_{6i} к i -му малому элементу (ΔS_i) боковой поверхности (S_6), а стрелка на зонде указывала направление \vec{n}_{6i} (рис. 8). В этом случае согласно (16)

$$E_{ni} \approx \frac{\Phi_{1i} - \Phi_{2i}}{d} = \frac{U_i}{d}, \quad (23)$$

где d – расстояние между щупами двойного зонда;

$\Phi_{1i} - \Phi_{2i} = U_i$ – разность потенциалов (напряжение), измеряемая вольтметром, к которому подключен двойной зонд. Тогда

$$\sum_{i=1}^N E_{ni} \approx \frac{1}{d} \cdot \sum_{i=1}^N U_i. \quad (24)$$

Подставив (24) в выражение (20), получаем, что поток вектора \vec{E} через замкнутую поверхность (S) прямо пропорционален алгебраической сумме (с учетом знака слагаемых) разностей потенциалов между щупами двойного зонда, измеренных на всех N малых элементах боковой поверхности (S_6) малой высоты h (т. е. вдоль замкнутой линии (L) сечения плоскостью плоского векторного поля гауссовой поверхности (S)):

$$\oint_{(S)} (\vec{E}, d\vec{S}) \approx \frac{h \cdot \Delta \ell}{d} \cdot \sum_{i=1}^N U_i. \quad (25)$$

Приравняем правые части выражений (22) и (24) и учтем, что в условиях данной лабораторной работы длина $\Delta \ell$ малых элементов боковой поверхности (S_6) равна расстоянию d между щупами двойного зонда $\Delta \ell = d$:

$$\frac{1}{d} \cdot \sum_{i=1}^N U_i = \frac{\lambda_{\text{оXB}}}{\varepsilon_0 \cdot \Delta \ell},$$

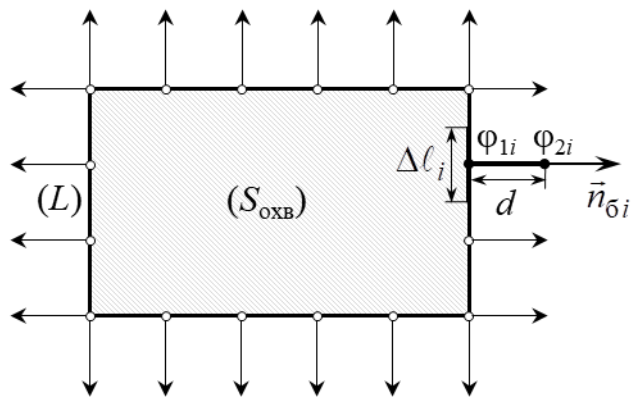


Рис. 8

$$U = \sum_{i=1}^N U_i = \frac{\lambda_{\text{ОХВ}}}{\varepsilon_0}, \quad (26)$$

где U – алгебраическая сумма (с учетом знака слагаемых) разностей потенциалов между щупами двойного зонда, измеренных на всех N малых элемента боковой поверхности (S_6) гауссовой поверхности (S).

Таким образом, из выражений (25) и (26) следует:

- если замкнутая поверхность (S) **охватывает** заряд, когда поверхность ($S_{\text{ОХВ}}$) содержит внутренний электрод макета (см. рис. 7, а), то $\lambda_{\text{ОХВ}} \neq 0$ и алгебраическая сумма U разностей потенциалов, измеренных на всех N малых элементах поверхности, также отлична от нуля $U \neq 0$;
- если замкнутая поверхность (S) **не охватывает** заряд, когда поверхность ($S_{\text{ОХВ}}$) не содержит внутренний электрод макета, то $\lambda_{\text{ОХВ}} = 0$ и $U = 0$.

В данной лабораторной работе проверка теоремы Гаусса заключается в следующем.

Если две **разные** замкнутые поверхности (S_1) и (S_2) охватывают один и тот же электрод на макете, то $\lambda_{\text{ОХВ.1}} = \lambda_{\text{ОХВ.2}} \neq 0$, то потоки вектора \vec{E} через них должны быть одинаковыми, поскольку согласно теореме они определяются только зарядом. Следовательно, $U_1 \approx U_2$.

Если замкнутая поверхность (S_3) **не охватывает** заряд, то поток вектора \vec{E} через нее должен быть равен нулю, т. е. $U_3 \ll U_1$.

Для проверки теоремы о циркуляции вектора напряженности \vec{E} электростатического поля в интегральной форме (15) в данной лабораторной работе ориентированной замкнутой кривой является прямоугольный контур (L), направление обхода по которому выбирается произвольно. Если контур (L) мысленно разбить на N малых элементов в виде отрезков одинаковой длины $\Delta\ell_i = \Delta\ell$ (рис. 9), то значение линейного интеграла в определении циркуляции (12) с учетом (13) можно приближенно представить в виде дискретной суммы

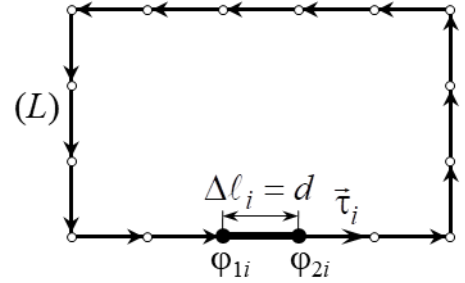


Рис. 9

$$\oint_{(L)} (\vec{E}, d\vec{\ell}) = \oint_{(L)} (\vec{E}, \vec{\tau}) \cdot d\ell = \oint_{(L)} E_{\tau} \cdot d\ell \approx \sum_{i=1}^N (E_{\tau i} \cdot \Delta\ell_i) = \Delta\ell \cdot \sum_{i=1}^N E_{\tau i}, \quad (27)$$

где $E_{\tau i}$ – проекция \vec{E} на направление единичного вектора касательной $\vec{\tau}_i$ к контуру (L), проведенного в точке начала i -го малого элемента ($\Delta\ell_i$) контура в направлении выбранного обхода вдоль (L) (на рис. 9 направление обхода выбрано против часовой стрелки).

Тогда, принимая во внимание возможность определения проекции вектора напряженности с помощью двойного зонда, его нужно расположить так, чтобы точки контакта щупов зонда с электропроводной бумагой находились

вдоль касательной $\vec{\tau}_i$ к i -му малому элементу ($\Delta\ell_i$) контура (L), а стрелка на зонде указывала направление $\vec{\tau}_i$. В этом случае согласно (16)

$$E_{\tau i} \approx \frac{\Phi_{1i} - \Phi_{2i}}{d} = \frac{U_i}{d}, \quad (28)$$

где d – расстояние между щупами двойного зонда (рис. 9);

$\Phi_{1i} - \Phi_{2i} = U_i$ – разность потенциалов (напряжение), измеряемая вольтметром, к которому подключен двойной зонд.

Подставляя (28) в выражение (27) с учетом $\Delta\ell = d$, получаем, что циркуляция вектора \vec{E} вдоль ориентированной замкнутой кривой (L) равна алгебраической сумме (с учетом знака слагаемых) разностей потенциалов между щупами двойного зонда, измеренных на всех N малых элементах контура (L):

$$\oint_{(L)} (\vec{E}, \vec{d\ell}) \approx \sum_{i=1}^N U_i. \quad (29)$$

Согласно теореме (15) циркуляция вектора напряженности \vec{E} электростатического поля вдоль любой замкнутой ориентированной кривой (L) всегда равна нулю:

$$\oint_{(L)} (\vec{E}, \vec{d\ell}) = 0,$$

поэтому с учетом (29) для **любого** контура (охватывающего или не охватывающего заряды (электрод)) должно выполняться равенство

$$U = \sum_{i=1}^N U_i = 0. \quad (30)$$

где U – алгебраическая сумма (с учетом знака слагаемых) разностей потенциалов между щупами двойного зонда, измеренных на всех N малых элементах контура (L).

Подготовка лабораторной установки к работе и методика измерений

1. Подключить макет и вольтметр к сети 220 В.
2. Перевести тумблер «Сеть» в верхнее положение».
3. Выбрать на макете **охватывающую** заряд замкнутую поверхность (S_1), которая пересекает плоскость поля напряженности \vec{E} (поверхность электропроводной бумаги) по замкнутой линии (L_1), которая является объединением контуров 1 и 2 на макете, и ограничивает поверхность ($S_{\text{охв.1}}$), **содержащую** внутренний электрод (рис. 10, а).
4. Расположить двойной зонд так, чтобы точки контакта щупов зонда с электропроводной бумагой находились на нормали $\vec{n}_{\zeta i}$ к i -му малому элементу, а стрелка на зонде указывала направление $\vec{n}_{\zeta i}$ (рис. 8). Показания U_i вольтметра (с учетом знака) внести в соответствующую ячейку строки № 1 табл.

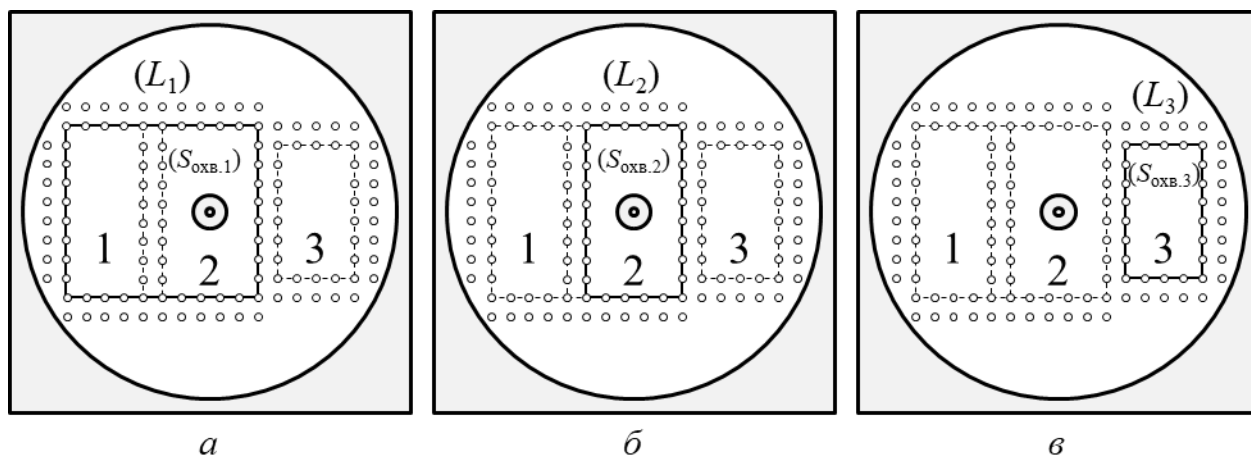
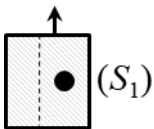
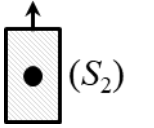
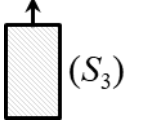
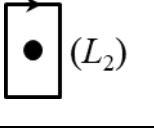
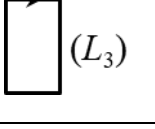


Рис. 10

5. Повторить п. 4 для всех остальных элементов. Все значения U_i с учетом знака внести в соответствующую ячейку строки № 1 табл. в виде перечисления (например: +0,157; – 0,082; – 0,331; ...).

			Таблица
№	$U_i, \text{В}$		$U = \sum_{i=1}^N U_i, \text{В}$
1.	 (S_1)		
2.	 (S_2)		
3.	 (S_3)		
4.	 (L_2)		
5.	 (L_3)		

6. Выбрать на макете **другую охватывающую** заряд замкнутую поверхность (S_2), которая пересекает плоскость поля напряженности \vec{E} (поверхность электропроводной бумаги) по контуру (L_2), который ограничивает поверхность ($S_{\text{OXB.2}}$), **содержащую** внутренний электрод (рис. 10, б).

7. Выполнить пп. 4, 5. Полученные результаты внести в соответствующую ячейку строки № 2 табл.

8. Выбрать на макете **не охватывающую** заряд замкнутую поверхность (S_3), которая пересекает плоскость поля напряженности \vec{E} (поверхность электропроводной бумаги) по контуру (L_3), который ограничивает поверхность ($S_{\text{охв.3}}$), **не содержащую** внутренний электрод (рис. 10, в).

9. Выполнить пп. 4, 5. Полученные результаты внести в соответствующую ячейку строки № 3 табл.

10. Выбрать на макете контур (L_2), который **охватывает** заряд (внутренний электрод) (рис. 10, б), и задать направление обода вдоль этого контура (например, против часовой стрелки).

11. Расположить двойной зонд так, чтобы точки контакта щупов зонда с электропроводной бумагой находились на касательной $\vec{\tau}_i$ к i -му малому элементу ($\Delta \ell_i$) контура (L_2), а стрелка на зонде указывала направление $\vec{\tau}_i$. (рис. 9). Показания U_i вольтметра (с учетом знака) внести в соответствующую ячейку строки № 4 табл.

12. Повторить п. 11 для всех остальных элементов контура (L_2). Все значения U_i внести в соответствующую ячейку строки № 4 табл. в виде перечисления.

13. Выбрать на макете контур (L_3), который **не охватывает** заряд (внутренний электрод) (рис. 10, в), и задать направление обода вдоль этого контура.

14. Выполнить пп. 11, 12. Полученные результаты внести в соответствующую ячейку строки № 5 табл.

15. Перевести тумблер «Сеть» в нижнее положение.

16. Отключить макет и вольтметр от сети 220 В.

ОБРАБОТКА РЕЗУЛЬТАТОВ ИЗМЕРЕНИЙ

1. По данным строк № 1 и 2 табл. вычислить алгебраическую сумму U_1 и U_2 разностей потенциалов. Результаты внести в соответствующие ячейки табл.

2. Сравнить U_1 и U_2 на предмет их равенства.

3. По данным строки № 3 табл. вычислить алгебраическую сумму разностей потенциалов U_3 . Результат внести в соответствующую ячейку табл.

4. Вычислить отношение U_3 / U_1 и сделать заключение о малости величины этого отношения. При этом необходимо учитывать следующее: если одно число меньше второго хотя бы в 10 раз (меньше на порядок), то оно может считаться пренебрежимо малым по сравнению со вторым числом.

5. Сделать вывод о выполнении теоремы Гаусса для поля вектора напряженности \vec{E} электрического поля в интегральной форме.

6. По данным строк № 4 и 5 табл. вычислить алгебраическую сумму U_4 и U_5 . Результаты внести в соответствующие ячейки табл.

7. Вычислить отношение U_4 / U_1 и U_5 / U_1 . Сделать заключение о малости величин этих отношений и вывод о выполнении равенства нулю циркуляции вектора напряженности \vec{E} электростатического поля вдоль произвольного ориентированного контура.

ЗАДАНИЕ

1. Изучить лабораторную установку и методику измерений.
2. Следуя указаниям в подразделе «Подготовка лабораторной установки к работе и методика измерений» определить значения U_i . Полученные результаты внести в табл.
3. Перевести расположенный на макете тумблер в положение «Выкл.».
4. Отключить макет и вольтметр от сети 220 В.
5. Следуя указаниям раздела «Обработка результатов измерений» вычислить алгебраические суммы U_1 , U_2 , U_3 , U_4 и U_5 .
6. Произвести анализ полученных результатов и сделать вывод в соответствии с целью работы.

КОНТРОЛЬНЫЕ ВОПРОСЫ

1. Дайте определение потока векторного поля \vec{E} через произвольную ориентированную поверхность. Когда поверхность считается ориентированной?
2. Как поток векторного поля \vec{E} через произвольную ориентированную поверхность связан с числом силовых линий поля, пересекающих эту поверхность?
3. Сформулируйте теорему Гаусса для электрического поля в вакууме в интегральной форме и запишите формулу, выражающую ее. Каков содержательный смысл этой теоремы?
4. Дайте определение циркуляции векторного поля \vec{E} вдоль ориентированной замкнутой кривой. В каком случае замкнутая кривая считается ориентированной?
5. Как связана работа силы электрического поля при движении в нем точечного заряда по замкнутой траектории (L) с циркуляцией вектора напряженности этого поля вдоль замкнутой ориентированной кривой (L), совпадающей с траекторией движения данного заряда?
6. Сформулируйте теорему о циркуляции вектора напряженности \vec{E} электростатического поля в интегральной форме и запишите формулу, выражающую ее. Какой вывод о характере электростатического поля можно сделать из этой теоремы?
7. Обоснуйте возможность проверки теоремы Гаусса и теоремы о циркуляции вектора напряженности \vec{E} в условиях данной лабораторной работы.

РЕКОМЕНДОВАННАЯ ЛИТЕРАТУРА

1. Савельев, И. В. Курс физики : учеб. пособие для вузов. В 3 т. Том 2. Электричество. Колебания и волны. Волновая оптика / И. В. Савельев. – 7-е изд., стер. – СПб. : Лань, 2022. – 468 с..
2. Иродов, И. Е. Электромагнетизм. Основные законы : учеб. пособие / И. Е. Иродов. – 12-е изд. – М. : Лаборатория знаний, 2021. – 322 с.
3. Сивухин, Д. В. Общий курс физики : учеб. пособие для вузов. В 5 т. Том III. Электричество / Д. В. Сивухин. – 6-е изд., стереот. – М. : ФИЗМАТЛИТ, 2020. – 565 С.